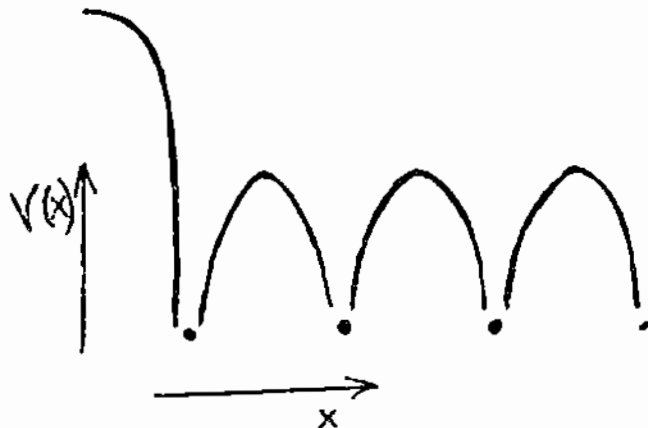


## الفصل الثاني عشر

### Zone theory نظرية المناطق

لم تستطع أى من النظرية الكلاسيكية أو النظرية الكمية للفيزياء الالكترونى تفسير تلك الفوارق الضخمة في التوصيل الكهربائى للمواد المختلفة من عازلة الى شبه موصلة الى موصلة . لذلك ادخل فى نظرية المناطق الحديثة تأثير ايونات الشبكة على الالكترونات الحرة latttice ions



شكل ( ١٢ - ١ )

تحرك الالكترونات في وجود بئر جهد دوري Periodic potential ناتج من ترتيب الذرات في الشبكة . فإذا كان الجهد عند النقطة  $x$  هو  $V(X)$  فان معادلة شرودنجر الخطية في اتجاه  $x$  تكون :

$$\frac{d^2 \Psi}{dx^2} + \frac{8\pi^2 m}{h^2} \left( E - V(x) \right) \Psi = 0$$

وقد تمكن بلونج Block من حل هذه المعادلة لتعطى نوعين من الحلول :

$$\Psi(X) = e^{\pm \frac{\mu}{2} \frac{x}{k}} u_k(X) \quad (1)$$

$$\Psi(X) = e^{\pm ikx} u_k(X) \quad (2)$$

بما أن الحل الأول غير محدود حيث أن الدالة الموجية  $(X)\Psi$  تتؤول إلى ما لا نهاية عند ما تؤول  $x$  إلى ما لا نهاية لذلك فهذا الحل يمثل أمواج متقدمة progressive غير موجودة بالشبكة . أما الحل الثاني فيمثل أمواجاً موقونة stationary waves

في الحلين السابقين  $k$  هي العدد الوجي  $\frac{2\pi}{\lambda}$

$u_k(x)$  هي دالة موجية لا تتوقف على الزمن ولكن على  $k$  فقط وهي

دورية ولها نفس دورية الشبكة  $a$  اي أن

$$u_k(x+a) = u_k(x)$$

اي أن

$$\Psi(x+a) = e^{\pm ik(x+a)} u_k(x+a)$$

$$\Psi(x+a) = \Psi(x) \cdot e^{\pm ika}$$

بما أن الحل الأول لا يعطي حالات موقونة للإلكترون لذلك تخنقى

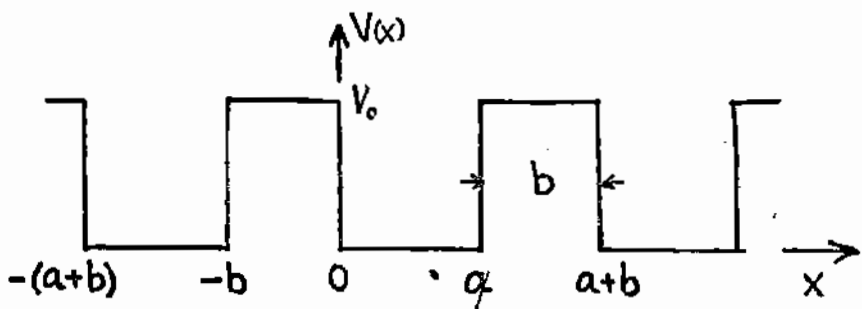
مناطق معينة من الطاقة لا يمكن أن يوجد بداخلها أي الكترون وذلك لأنه لو حدث ذلك كانت الموجة المصاحبة له موجة تقدمية تخضع للحل الأول . ولذلك فإنها تختلف من داخل الجسم .

ويسمى الحل الثاني بـ دوال بلوخ Bloch functions

Kronig — Penny model

نموذج كرونج وبني

لتوضيح وجود مناطق من الطاقة مسماة بها للاكترون وأخرى منوعة عليه وضع كرونج وبني نموذجا من بعد واحد يمثل شبكة خطية مكونة من ذرات تبعد عن بعضها مسافة  $(a+b)$  يمكن تمثيل الخواص المميزة لانتشار الامواج الالكترونية على هذه الشبكة بتركيب دورى مربع له نفس دورية الشبكة ويمثل بئر الجهد الذى تتحرك عليه الالكترونات .



شكل ( ١٢ - ٢ )

اعتبر أن الجهد عند النواة يساوى صبرا وأن قيمته عند منتصف المسافة بين ذرتين متجاورتين هو  $V_0$

دورية الشبكة هي  $a + b$  حيث  $b$  هو سمك حاجز الجهد  $a$  هو أنساع بئر الجهد .

لحل معادلة شرودنجر باستخدام هذا النموذج البسيط نعتبر دوال بلوخ التي تمثل موجات الالكترونية مستوية تشكلت بوجود دورية الشبكة plane waves

$$\Psi = u e^{ikx}$$

بمقابلة هذه المعادلة نحصل على

$$\frac{d\Psi}{dx} = e^{ikx} \frac{du}{dx} + ik u e^{ikx}$$

&

$$\frac{d^2\Psi}{dx^2} = e \frac{ikx}{dx^2} \frac{d^2u}{dx^2} + 2ik e \frac{ikx}{dx} \frac{du}{dx} + i^2 k^2 u e^{ikx}$$

وبالتعويض في معادلة شرودنجر ذات الجهد الدورى

$$\frac{d^2\Psi}{dx^2} + \frac{8\pi^2 m}{h^2} (E - V) \Psi = 0$$

نحصل على : —

$$\frac{d^2u}{dx^2} + 2ik \frac{du}{dx} - k^2 u + \frac{8\pi^2 m}{h^2} (E - V) u = 0$$

$$\text{نجد أن } \frac{E}{k} = \frac{h^2 k^2}{8 \pi^2 m} \quad \text{ويوضع}$$

$$\frac{d^2u}{dx^2} + 2ik \frac{du}{dx} + \frac{8\pi^2 m}{h^2} (E - E - V) u = 0$$

أولاً : في المنطقة  $a < x < 0$  أي داخل بئر الجهد يكون حل المعادلة السابقة على الصورة

$$u_1 = A e^{i(\alpha - k)x} + B e^{-i(\alpha + k)x}$$

حيث

$$\alpha = \sqrt{\frac{8\pi^2 m}{h^2} \cdot E} = \frac{2\pi}{h} \sqrt{\frac{2mE}{I}}$$

ثانياً : في المنطقة  $a < x < a + b$  أي داخل حاجز الجهد يكون حل المعادلة هو :

$$u_2 = C e^{(\beta - ik)x} + D e^{-(\beta + ik)x}$$

حيث

$$\beta = \left( \frac{8\pi^2 m}{h^2} (V_0 - E) \right)^{1/2} \dots \dots \text{(II)}$$

تحدد قيمة الثوابت  $D, C, B, A$  من حالة الحدود بحيث تكون الدالة الموجية  $u$  ومعاملها التفاضلي

$\frac{du}{dx}$  دوال متصلة وواحدية القيمة عند كل من

$$x = -b, x = a, x = 0$$

ومن دورية الدالة  $u$  تكون قيمتها عند  $x = a$  مساوية عند

$$\therefore u_1(a) = u_2(-b); \quad x = -b$$

$$u_1(0) = u_2(0); \quad ; \left( \frac{du_1}{dx} \right)_0 = \left( \frac{du_2}{dx} \right)_0;$$

$$\left( \frac{du_1}{dx} \right)_a = \left( \frac{du_2}{dx} \right)_{-b}$$

باستخدام حالات الحدود السابقة نحصل على أربعة معادلات هي

$$* \quad A + B = C + D \quad (i)$$

$$* i(\alpha - k) A - i(\alpha + k) B = (\beta - ik) C - (\beta + ik) D \quad (ii)$$

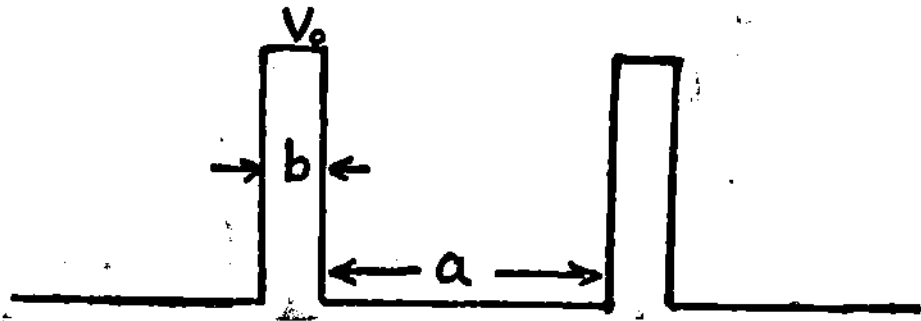
$$* \begin{matrix} i(\alpha - k) a & -i(\alpha + k) a & -(\beta - ik) b \\ A e & + B e & = C e \\ (\beta + ik) b & & \\ + D e & & \end{matrix} \quad (iii)$$

$$* \begin{matrix} i(\alpha - k) a & -i(\alpha + k) a \\ i(\alpha - k) A e & -i(\alpha + k) B e \\ -(\beta - ik) b & (\beta + ik) b \\ = (\beta - ik) C e & - (\beta + ik) D e \\ & \dots \end{matrix} \quad (iv)$$

يكون لهذه المعادلات الخطية حل اذا تلاشت قيمة المحدد المكون من  
معاملات  $D, C, B, A$

الحل النهائي يعطى بالمعادلة : —

$$\frac{\beta^2 - \alpha^2}{2\beta\alpha} \sinh \beta b \sin \alpha a + \cosh \beta b \cos \alpha a$$



$$b \rightarrow 0 ; V_0 \rightarrow \infty ; bV_0 \text{ finite}$$

شكل ( ١٢ - ٢ )

$$= \cosh (a + b) \quad \dots \dots \quad (III)$$

وللحصول على حل أبسط من هذا اجري كرونيج وبنى التقريب التالي  
( انظر شكل ١٢ - ٢ )

اعتبرا سمك حاجز الجهد  $b$  صغيرا جدا ويؤول للصفر كما اعتبرا  
ان ارتفاع حاجز الجهد  $V_0$  كبيرا جدا ويؤول الى ما لا نهاية

ولكن حاصل الضرب  $bV_0$  يظل محدود القيمة

هذا التقريب لا يغير من طبيعة الحل النهائي ولكنه فقط يسهل ايجاد  
حل للمشكلة باستخدام الرياضة البسيطة كما يأتي : -

- ( ١ ) اذا كانت  $V_0 \rightarrow \infty$  فان قيمة  $E$  تكون صغيرة نسبيا ولذلك  
نجد ان قيمة  $\beta$  ( المعادلة II ) تصبح :

$$\beta = \left( -\frac{8\pi^2 m}{h^2} \cdot V_0 \right)^{1/2}$$

(ب) تختصر حدود المعادلة (III) كل على حدة كما ياتى :

$$\begin{aligned}
 1) \quad & \frac{\beta^2 - \alpha^2}{2\beta\alpha} \sinh \beta b \sin \alpha a = \frac{\beta^2 - \alpha^2}{2\beta\alpha} \\
 & \cdot \beta b \sin \alpha a \\
 & = \frac{\beta^2 b}{2\alpha} \sin \alpha a - \frac{\alpha b}{2} \sin \alpha a \\
 & = \frac{\beta^2 b}{2\alpha} \sin \alpha a
 \end{aligned}$$

وضعنا هنا  $b \rightarrow 0$  ايضا صغيرة جدا بالنسبة الى  $V_0$  نهى تؤول للصفر . وكذلك قيمة  $\alpha$  يلاحظ ان  $\beta^2 b$  هي  $V_0 b$  وهي محدودة القيمة فرضا فلا تختصر

$$2) \quad \cosh \beta b \rightarrow 1 \quad \therefore b \rightarrow 0 \quad \text{بما أن}$$

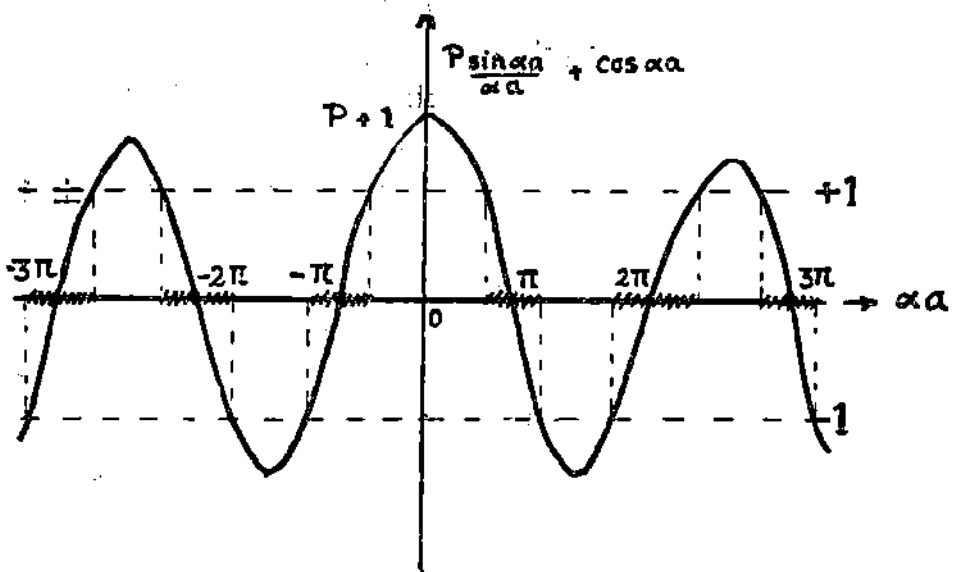
$$3) \quad \cos k(a+b) \rightarrow \cos k a$$

وبالتعويض في المعادلة III نحصل على

$$\frac{\beta^2 b}{2\alpha} \sin \alpha a + \cos \alpha a = \cos k a$$

$$P = \frac{\beta^2 ba}{2} = \frac{4\pi^2 m V_0 ab}{h^2} \quad \text{ووضع}$$

$$P \frac{\sin \alpha a}{\alpha a} + \cos \alpha a = \cos k a \quad (IV)$$



شكل (١٢ - ٤)

ولدراسة هذه المعادلة نرسمها بيانيًا

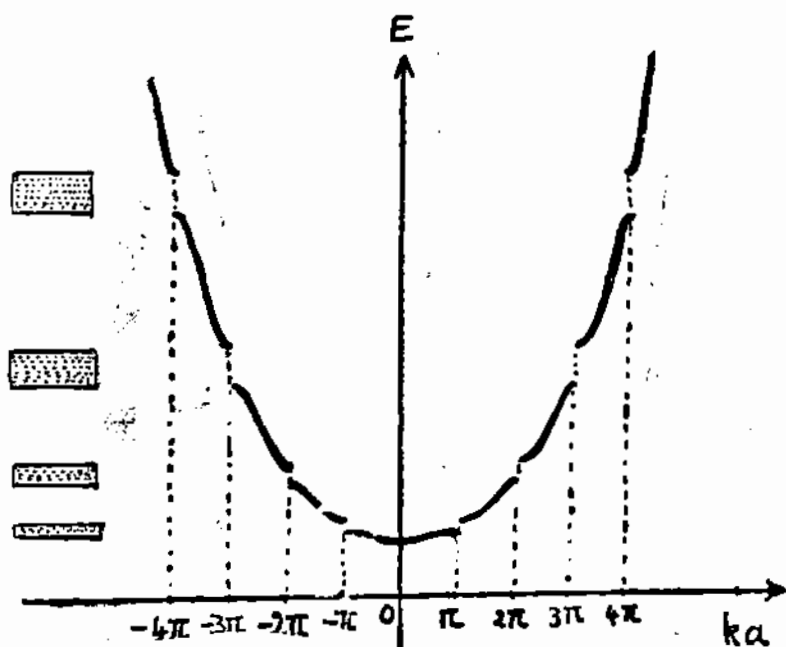
وليكن الطرف الأيسر بامثله محور صادي وليكن  $\alpha^a$  هو المحور السيني . الطرف الأيمن من المعادلة IV ،  $\cos k a$  ، يأخذ قيمة واحدة فقط لكل قيمة  $k a$  اي لكل قيمة طاقة الكترونية  $E$  . كما ان دالة جيب التمام تجعل حدود التغير للطرف الأيسر من المعادلة لا تتعدي  $1 \pm 1$  هي قيم تغير  $\cos k a$  ما بين أقل قيمة وأكبر قيمة .

لذلك فكل قيم  $\alpha^a$  التي تعطى قيمة للطرف الأيسر في المعادلة IV اكبر من  $+1$  او اقل من  $-1$  تعتبر غير حقيقة .

$$\text{و بما ان } \alpha = \frac{2\pi}{h} \sqrt{\frac{2mE}{}} \quad (\text{معادلة I})$$

.. يمثل المحور السيني  $a$  محورا للطاقة الالكترونية وتكون بذلك قيم الطاقة الالكترونية الممثلة بقيم  $a$  التي تعطى فيما للطرف الايسر من المعادلة IV داخل الحدود  $\pm 1$  هي فقط القيم المسموح بها لطاقة الالكترون اما القيم الاخرى التي تخرج بتقية الطرف الايسر عن هذا النطاق  $\pm 1$  فهي كلها قيم غير حقيقة او بمعنى آخر قيم غير مسموح بها .

من هنا يتضح وجود مناطق للطاقة مسموح بها واخرى غير مسموح بها اي ان الجهد الدورى Allowed and forbidden energy bands لذرات الشبكة قد املى وجود مناطق ممنوعة من الطاقة الالكترونية لامكنا لاي الكترون ان يتواجد بداخليها . ويلاحظ انه كلما ازداد ارتفاع بث الجهد ( اي ان  $V_0 b$  تزداد ) نجد ان اتساع هذه المناطق المحرمة يقل .



شكل ( ١٢ - ٥ )

برسم العلاقة بين طاقة الالكترون ومقلوب طول الموجه المصاحب نحصل على الشكل وفيه تظهر المناطق المحرمة من الطاقة .

يلاحظ وجود انقطاع في المنحنى كلما كان  $\frac{n}{a} = k$  اي عندما

$$n \lambda = 2a$$

حيث  $a$  هي المسافة بين الذرات .

هذه المعادلة هي نفس معادلة براج التي تعطى انعكاسا قويا للالكترونات الساقطة عموديا على سطح البلورة .

وهذا يعني انه تبعا لقانون براج فان اي الکترون يتحصل داخل البلورة على طاقة تدخله في المنطقة المحرمة يتشتت وينعكس على المستويات الذرية الى خارج البلورة لاتها لاتقبل وجوده بداخها .

**كتلة الالكترون الفعالة في البلورة**  
Effective mass  $m^*$   
The effective mass of electrons.

في النظرية السابقة اعتبرنا ان الالكترونات في البلورة عبارة عن امواج مستقرة تشغل جميع حجم الجسم . ولكن لكي نعالج موضوع تأثير المجالات الالكترونية أو المغناطيسية على الالكترونات فيجب اعتبار الطبيعة الجسيمية للالكترون وكيف ترتبط بالطبيعة الموجية له .

نعتبر الالكترون جيب موجى Wave packet حيث تكون سرعة الالكترون كجسم particle velocity مساوية للسرعة الجموعية group velocity

المركبة السينية للسرعة الجموعية هي :

$$\frac{v}{x} = \frac{\frac{dw}{dk}}{x} = \frac{\frac{2\pi dv}{dk}}{x} = \frac{2}{h} \frac{\frac{dE}{dk}}{x} \quad (E = h\nu)$$

..... (1)

إذا أثربنا على البلورة بمجال كهربائي  $X$  فان الشغف المبذول على الإلكترون بواسطة المجال في الزمن الصغير  $\delta t$  هو

$$\delta\omega = e \cdot \frac{X}{x} v \frac{\delta t}{x} \dots \dots \quad (2)$$

حيث مركبة القوة لالكترون كمية حركته  $P_x$  في اتجاه  $x$  هو  $F_x$  بتناظر المعادلة (1) نحصل على

$$\frac{F}{x} = \frac{\frac{dp_x}{dt}}{x}$$

$$\frac{\frac{x dp}{dt}}{dt} = \frac{d}{dt} \left( \frac{2\pi}{h} \frac{\frac{dE}{dk}}{x} \right)$$

$$\therefore \frac{dv}{dt} = \frac{2\pi}{h} \frac{d^2E}{dk^2x} \cdot \frac{dkx}{dt}$$

$$= \frac{4\pi^2}{h^2} \frac{d^2E}{dk^2x} \cdot \frac{\frac{dp_x}{dt}}{x} = \frac{1}{m*} \cdot F_x$$

$$\frac{1}{m*} = \frac{4\pi^2}{h^2} \frac{d^2E}{dk^2x}$$

حيث

وقد وضعت المعادلة على هذه الصورة اذ ان  $\frac{d\mathbf{v}}{dt}$  تمثل عجلة كما ان

$d\mathbf{P}_x = F_x$  هي قوة (قانون نيوتن) لذلك فان المدار  $m*$  لابد ان يمثل كتلة ونعرف  $m*$  بأنها الكتلة الفعالة للإلكترون effective mass

بالنسبة لالكترون حر تكون كتلته  $m = m*$  ولكن في داخل البلورة فان تأثير الشبكة يجعل كتلته الفعالة مختلفة عن كتلته الحره .

وعند التأثير بقوة على الكترون البلورة فان التغير في كمية حركه داخل البلورة  $m*v$  يختلف عن نظيره لالكترون الحر  $mv$  هذا الفرق بين المدارين لايشكل كسر او خطأ في قانون نيوتن للحركة لأن هذا الفرق يؤخذ بواسطة الشبكة . crystal momentum

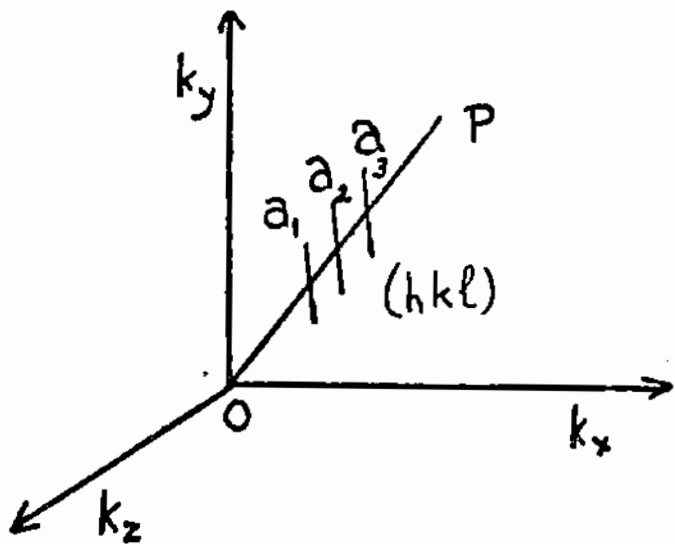
### مناطق بريليون Brillouin Zones

لكي نتصور فيزيائيا لماذا نحصل على مناطق محربة من الطاقة في البلورات الحقيقية نفرض أن لدينا بلورة خالية تماما من الالكترونيات .. أى أن جميع مستويات الطاقة فيها فارغة .

ثم لنعتبر فراغ العدد الموجى wave number space نأخذ اي اتجاه مثل  $O P$  يمر بمركز الاحداثيات  $O$

كل نقطة على هذا الخط تمثل عدد موجى معين . لنتصور الان أننا بدأنا نملأ تدريجيا البلورة بالالكترونيات الازمة لها . كلما أضفنا الكترونات نجد ان مستويات الطاقة المنخفضة هي التي تملأ اولا بالكترونيين لكل مستوى .

وتكون دائئنا مستويات الطاقة المشغولة على شكل كرات تحيط بمركز الاحداثيات  $O$  الذي يكون في المركز دائما .



شكل (١٢ - ٦)

ومن الواضح انه كلما ازدادت قيمة  $k$  كلما نقصت طول الموجة المصاحبة للإلكترون  $\lambda$

اذا كان الاتجاه  $O P$  يمر مخترقاً مجموعة من المستويات المسافة الممودية بينها  $d_{(hkl)}$  وكانت الزاوية التي يعملها هذا الاتجاه مع المستويات هي  $\Theta$  فان الموجة الإلكترونية  $\lambda$  المصاحبة للإلكترون متحرك في هذا الاتجاه يمكن ان ينطبق عليها قانون براج

$$2 d_{(hkl)} \sin \Theta = \pi \lambda$$

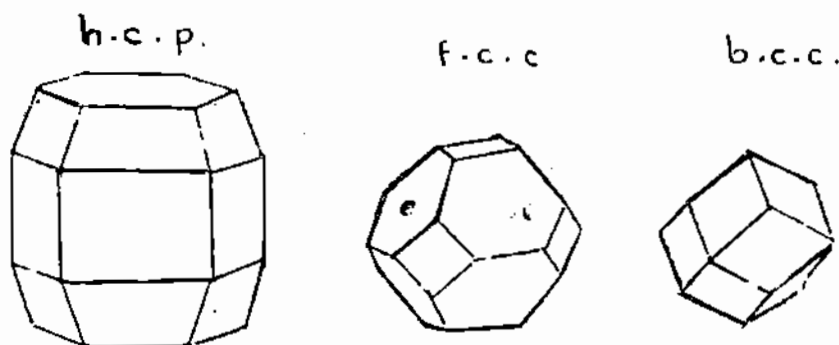
وعندئذ يحدث انعكاس قوى لهذه الموجة  $\lambda$  على هذه المستويات اي اذا متحققت هذه العلاقة .

وهذا يعني انه بالنسبة لاتجاه مثل  $O P$  وبالنسبة لمستويات مثل  $(hkl)$  نجد متسلسله من النقط Series of points على هذا الخط يتحقق عند كل منها قانون براج مما يسبب اختفاء اي الكترون يكون

له طاقة اي من هذه النقط وهذا يخلق سلسلة من الطاقات الممنوعة على هذا الخط عند تلك النقط .

وبتعميم ما سبق على جميع اتجاهات الفراغ مثل الاتجاه  $O-A$  وبالنسبة لجميع المستويات الذرية في البلورة مثل  $(h\bar{k}\ell)$  نحصل على مناطق محرمة من الطاقة تسمى مناطق بريليوين Brillouin ومن الواضح أن شكل مناطق بريليوين تعتمد أساساً على التركيب البلوري للشبكة وعلى المسافات البنية بين مستويات الطاقة الذرية الكثيفة في هذا التركيب .

وامثلة ذلك في شكل ( ١٢ - ٧ )



شكل ( ١٢ - ٧ )

Electron distribution curves

منحنيات التوزيع الالكترونى

Fermi surface

سطح فيرمى

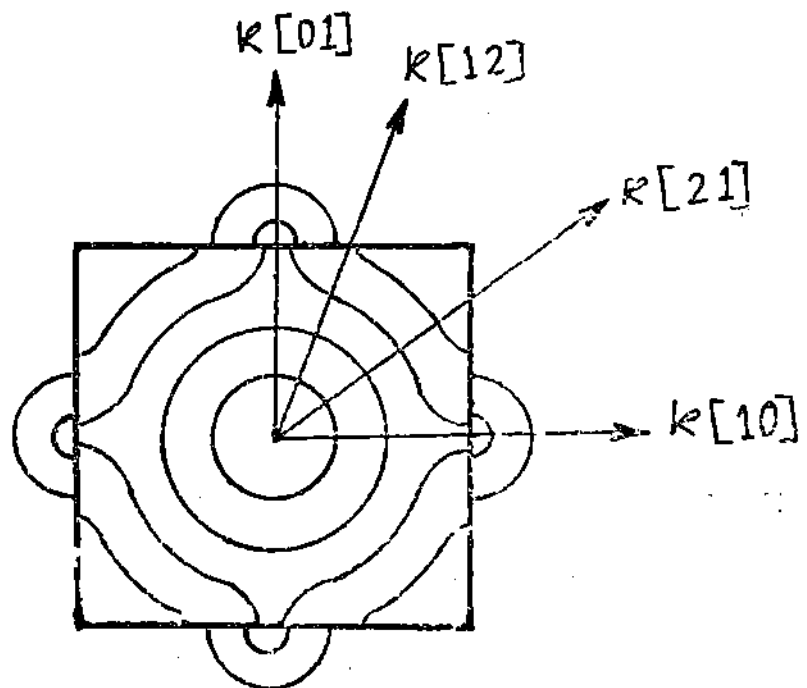
اعتبر فرضاً بلورة ذات بعدين نقطتين  $D-2$  وانها خالية من الالكترونات وافرض ان التركيب البلوري لها يعطى منطقة بريليوين الاولى على شكل مربع .

ابدا بملء الشبكة تدريجياً بالالكترونات .

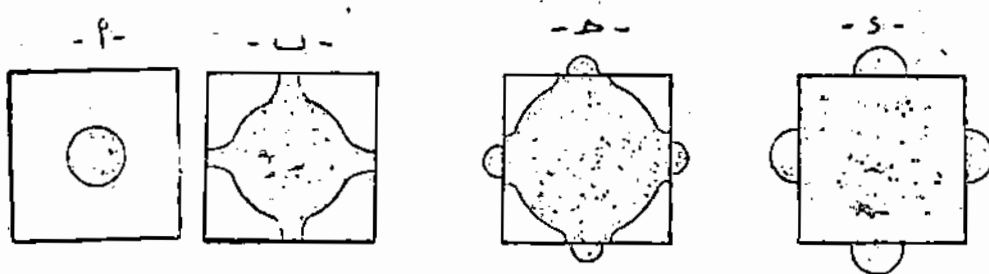
اذا وصلنا النقط المختلطة في فراغ متوجه الموجة  $k$  — space والتي يكون لها نفس الطاقة الالكترونية نحصل على اشكال دائيرية طالما كنا بعيدين عن حدود منطقة بريلوين .

تكون حركة الالكترونات في هذه الدوائر غير مقيدة ولكن اذا اقربنا من حدود المنطقة نجد ان خطوط تساوى الطاقة energy contours تنتهي عند هذه الحدود اذ ان قيم  $k$  تكون اكبر في الاركان عنها عند الجوانب مثلا  $k(21) < k(10)$  .

بالاستمرار في اضافة الالكترونات للبلورة تمتلىء اركان منطقة بريلوين الاولى تماما .



شكل ١٢ —



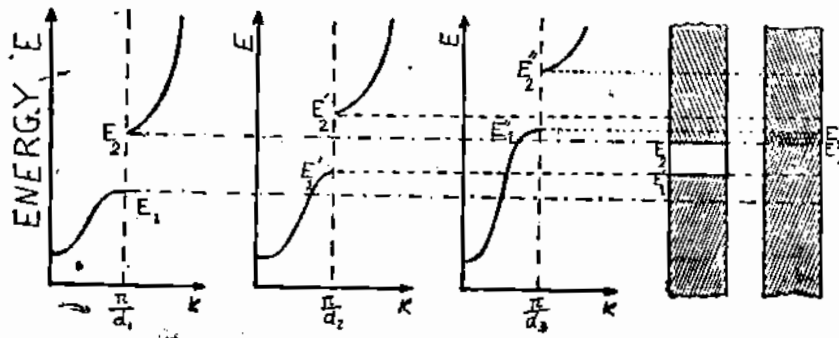
شكل ( ١٢ - ٩ )

وبعد هذه المرحلة لن يدخل اي الکترون في المنطقة الثانية الا اذا كانت طاقته من الكبر بحيث يستطيع تعديه المنطقة المتنوعة للطاقة بين منطقتي بريلوين الاولى والثانية .

احيانا يكون أول حدود منطقة بريلوين الثانية عند مستوى للطاقة اقل من مستوى الطاقة المناظر لأبعد حدود منطقة بريلوين الاولى اي ان هناك تلاحمان بين المنطقتين over lap . في هذه الحالة يمكن للالكترونات ان تبدا في شغل مستويات الطاقة في المنطقة الثانية قبل الانتهاء تماما من شغل مستويات الطاقة في المنطقة الاولى ، كما مبين بشكل ( ١٢ - ٩ ) .

تمثل اشكال ١ ، ب منطقة بريلوين الاولى وهى ممثلة جزئيا بالالكترونات في الشكل ٤ تبدا الالكترونات في الدخول للمنطقة الثانية قبل الانتهاء من شغل جميع مستويات الطاقة الاولى ، وذلك لأن مستويات الطاقة في المنطقة الثانية عندها تكون ميسورة اكتر من المستويات الباقيه في المنطقة الاولى .

ويمكن توضيح ذلك اكتر بواسطة الشكل الآتى : -



شكل ( ١٠ - ١٢ )

اعتبر  $E_1$  ،  $E'_1$  ،  $E''_1$  هي حدود الطاقة لمنطقة بريليونين الاولى بالنسبة لثلاثة اتجاهات في الفراغ وان  $E_2$  ،  $E'_2$  ،  $E''_2$  طاقة القاع bottom لمنطقة بريليونين الثانية لنفس هذه الاتجاهات .

اولا : اذا كان  $E_2$  اكبر من  $E'_1$  ،  $E''_1$  بالنسبة للاتجاهات المختلفة في الفراغ فاننا نحصل على مناطق غير متداخله وتوجد عندئذ non overlapping zones energy gap و تكون مثل هذه المادة عازلة كهربائيا اذ ان الكترونات المنطقه الاولى لا تستطيع الحركة الى داخل المنطقه الثانية الا اذا قفزت فوق ثغرة الطاقة .

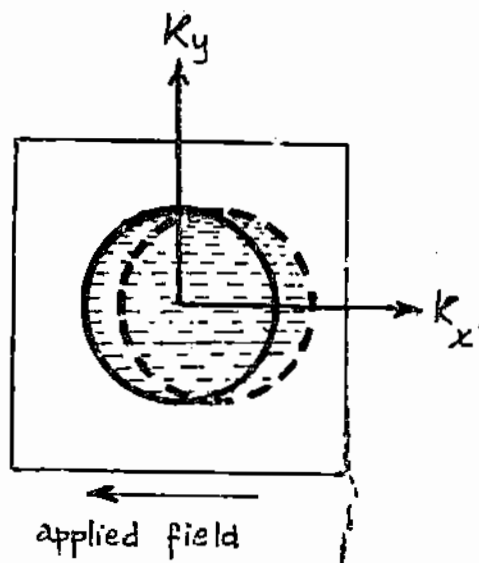
ثانيا : اما اذا كانت  $E'_1$  اكبر من  $E_2$  فاننا نحصل على مناطق بريليونين متداخله ويكون الالكترون عندها حر الحركة داخل المنطقتين الاولى والثانوية مما يسهل عملية التوصيل الكهربائي و تكون مثل هذه المواد مواد موصولة .

#### تعريف المادة الموصولة كهربائيا :

هي المادة التي تكون منطقة بريليونين لها ملؤة جزئيا partially filled بالالكترونات . عندما نؤثر على المادة بمجال كهربائي نجد أن مجموعة الالكترونات

نزاح في عكس اتجاه الم المجال وذلك لأن كل الكترون يستطيع أن يجد مستوى شاغرا للطاقة يجاوره .

وكتيجة لزاحة الإلكترونات نحصل على تيار كهربائي ولذلك تكون المادة موصلة جيدة للتيار . نفس هذا التعليل ينطبق على المواد التي تكون فيها مناطق بريليوين متداخلة وتسمح بحركة الإلكترون .



شكل ( ١١ - ١٢ )

### المادة العازلة : -

هي المادة التي يكون فيها مناطق بريليوين غير متداخلة وبينها ثغرة طاقة: كما أن المنطقة الداخلية مملوءة تماماً بال الإلكترونات . لا يستطيع الإلكترون الحركة تحت تأثير المجال الكهربائي إلا إذا اكتسب طاقة تسمح له بالقفز فوق ثغرة الطاقة .

## المادة شبه الموصلة :

اذا كانت المنطقة الداخلية مملوقة تماماً (Valence band)

وكانت ثغرة الجهد صفرة نسبياً بحيث يمكن للإلكترون بواسطة التهيج الحراري  $kT$  ان يقفزها الى منطقة التوصيل conduction band تكون المادة شبه موصلة مثل السيليكون النقى . في درجات الحرارة المنخفضة تكون المادة عازلة بينما رفع درجة الحرارة يحولها الى مادة موصلة .

يوجد بعض المواد العازلة اصلاً يمكن تحويلها الى مواد شبه موصلة بدخول شوائب فيها . تسمح هذه الشوائب بمستويات للطاقة داخل ثغرة الطاقة مما يسهل انتقال الإلكترون منها او اليها .

اذا كانت مستويات الطاقة التي ادخلتها الشوائب في ثغرة الطاقة للمادة الأصلية قريبة من منطقة التوصيل conduction band فان الإلكترون يقفز من الشائبة impurity atom لمنطقة التوصيل ويساهم في عملية التوصيل ويسمي هذا النوع

n — type semiconductor

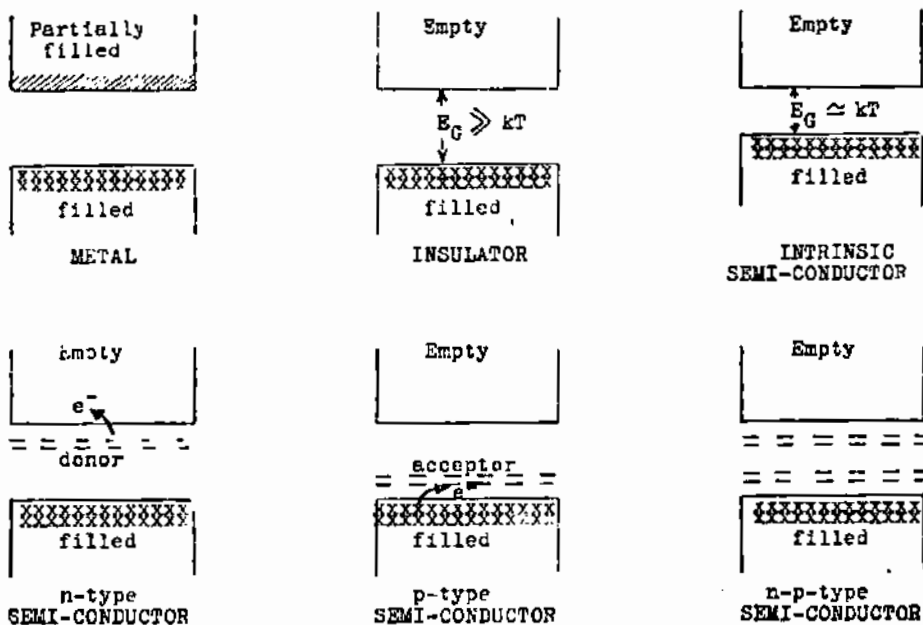
اما اذا كانت مستويات الطاقة داخل الثغرة قريبة من منطقة التكافؤ valence band فان الإلكترونات تقفز من هذه المنطقة الى مستويات الطاقة الاعلى والقريبة منها تاركة وراءها فراغات موجية positive holes يمكن لها أن تتحرك في منطقة التكافؤ وتساهم في عملية التوصيل .

p — type semiconductor

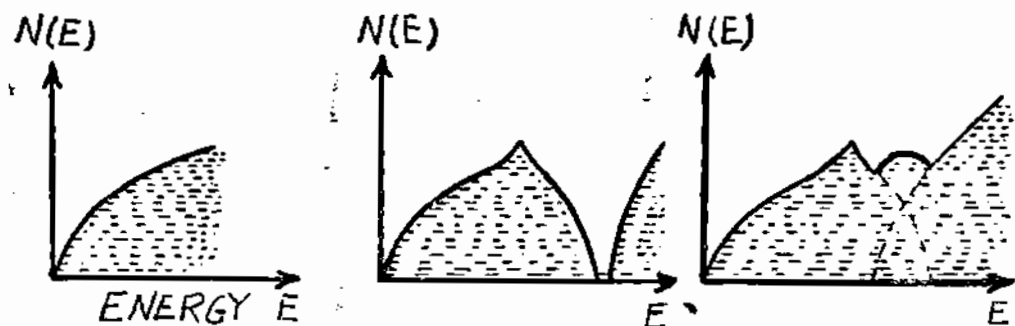
ويسمي هذا النوع

ويمكن تصنيع مادة شبه موصلة تكون من النوعين السابقتين وتسمى n — p — type semiconductor

ويبين الشكل أنواع المواد المختلفة من موصلة الى شبه موصله الى عازلة مستعيناً بنظرية المناطق



شكل (١٢ - ١)



شكل (١٢ - ٢)

مناطق متداخلة الكترونات حرّة  
متخيّلات  $N(E)$  لالكترونات في المواد